## Sistema Masa-Resorte-Amortiguador:

A continuación estudiaremos la dinámica de un sistema compuesto por una Masa, que se desplaza sobre una mesa lisa (i.e., sin roce) y la cual está unida a una pared, por medio de un resorte y un amortiguador como se ilustra en la figura. El resorte tiene constante elástica k y largo natural  $\ell_0$ , en tanto que el amortiguador tiene coeficiente de roce viscoso c. Llamemos x a la posición de la masa M medida desde la pared. Sobre la masa actúan solo dos fuerzas en la dirección horizontal: la fuerza que ejerce el resorte y la fuerza del amortiguador. Para pequeños desplazamientos con respecto a su largo natural, la fuerza que ejerce el resorte sobre la masa está dada por

$$F_{\text{res}} = -k(x - \ell_0),\tag{1}$$

en tanto que la fuerza que ejerce el amortiguador está dada por

$$F_{\rm am} = -c\dot{x}.\tag{2}$$

Así, la ecuación de Newton para la masa M está dada por

$$M\ddot{x} = -k(x - \ell_0) - c\dot{x}.\tag{3}$$

En lo que sigue estudiaremos las oscilaciones de este sistema con respecto al equilibrio estático. Para ello, primero determinamos la posición de equilibrio estático, caracterizada por las condiciones  $\dot{x}=0$  (i.e., el sistema está en reposo) y  $F_{\rm tot}=0$ , i.e.,  $-k(x-\ell_0)-c\dot{x}=0$ . Imponiendo estas dos condiciones, encontramos de inmediato que la posición de equilibrio está dada por

$$x_{\rm eq} = \ell_0. \tag{4}$$

Nuestro interés es determinar las pequeñas oscilaciones de la masa M con respecto a la posición de equilibrio, para lo cual es conveniente hacer un cambio de variables. Así, intrducimos  $s \equiv x - x_{\rm eq} = x - \ell_0$ . De aquí obtenemos de inmediato que  $\dot{x} = \dot{s}$  y  $\ddot{x} = \ddot{s}$ . Reemplazando estas ecuaciones en (3) obtenemos la siguiente ecuación para la variable s(t),

$$M\ddot{s} + c\dot{s} + k \, s = 0. \tag{5}$$

Esta ecuación para s es una ecuación diferencial lineal de segundo orden para s(t).

Con el objeto de determinar la evolución del sistema, no solo necesitamos la ecuación (5), sino que además debemos conocer el estado inicial del sistema, i.e., la posición y la velocidad inicial de la masa M, tal como hemos enfatizado en capítulos anteriores. En resumen, queremos determinar el comportamiento de la solución s(t) de (5) dados los valores iniciales para s(0) y  $\dot{s}(0)$ . Para ello, usaremos la siguiente estrategia, que fue establecida por Leonardo Euler (1706–1783) (ver, e.g., [1]). Recordemos que la función exponencial  $e^t$  juega un papel fundamental en cálculo, debido a que al derivarla queda igual, i.e.,  $de^t/dt = e^t$ . Usando la regla de la cadena, vemos así mismo que  $de^{pt}/dt = pe^t$  y  $d^2e^{pt}/dt^2 = p^2e^t$  (si p es una constante). Siguiendo a Euler entonces, intentamos una solución de la forma

$$s(t) = e^{pt} (6)$$

para la ecuación (5). Usando las propiedades de la función exponencial que acabamos de describir, vemos que (6) es solución de (5) siempre que tengamos

$$(Mp^2 + cp + k)e^{pt} = 0 (7)$$

para todo t. Como  $e^{pt}>0$ , la condición anterior implica que p debe ser una solución de la ecuación de segundo grado

$$Mp^2 + cp + k = 0, (8)$$

cuvas soluciones están dadas por

$$p_{1,2} = -\frac{c}{2M} \pm \sqrt{\frac{c^2}{4M^2} - \frac{k}{M}}. (9)$$

El tipo de soluciones de la ecuación (8) depende de los valores relativos de los parámetros del sistema,  $M,\ k\ y\ c.$  Vamos a distingir cuatro casos, los cuales analizaremos separadamente mas adelante:

- i)  $c^2/(4Mk) > 1$ : en este caso (8) tiene dos soluciones reales negativas distintas,  $p_1 < p_2 < 0$ .
- ii)  $c^2/(4Mk) = 1$ : en este caso (8) tiene una solución real negativa (repetida), i.e.,  $p_1 = p_2 < 0$ .
- iii)  $c^2/(4Mk)<1$ : en este caso (8) tiene un par de soluciones complejas conjugadas. Ambas tienen parte real negativa -c/(2M).
- iv) c=0: en este caso (8) tiene dos solucione imaginarias conjugadas, i.e.,  $p_{1,2}=\pm i\sqrt{k/M}$ .

Salvo en el caso iii), existen pues dos soluciones distintas  $p_1$  y  $p_2$  de (8). De este modo, usando la estrategia de Euler, hemos obtenido dos soluciones

$$s_1(t) = e^{p_1 t},$$

у

$$s_2(t) = e^{p_2 t}$$

de la ecuación diferencial (5). Como la ecuación (5) es lineal, uno puede comprobar de inmediato que cualquier combinación lineal de  $s_1(t)$  y  $s_2(t)$  también es solución. De hecho, si las raíces  $p_1$  y  $p_2$  son distintas, se puede demostrar que cualquier solución (i.e., la solución general) de (5) se puede escribir como

$$s(t) = \alpha s_1(t) + \beta s_2(t) = \alpha e^{p_1 t} + \beta e^{p_2 t}, \tag{10}$$

en que  $\alpha$  y  $\beta$  son constantes (en general complejos). Usando (10) podemos determinar entonces la solución de nuestro problema original, encontrando valores apropiados de  $\alpha$  y  $\beta$  de modo que (10) satisfaga las condiciones iniciales. Evaluando (10) en t=0, obtenemos,

$$\alpha + \beta = s(0). \tag{11}$$

Por otra parte, derivando (10) con respecto a t y luego evaluando en t=0, obtenemos,

$$\alpha p_1 + \beta p_2 = \dot{s}(0). \tag{12}$$

Finalmente, podemos resolver el sistema de dos ecuaciones, (11) y (12) para  $\alpha$  y  $\beta$ . Entonces, si  $p_1 \neq p_2$  encontramos,

$$\alpha = \frac{\dot{s}(0) - p_2 s(0)}{p_1 - p_2},\tag{13}$$

у

$$\beta = \frac{\dot{s}(0) - p_1 s(0)}{p_2 - p_1},\tag{14}$$

respectivamente. Reemplazando estos valores obtenidos para  $\alpha$  y  $\beta$  en términos del estado inicial del sistema en (10), podemos finalmente escribir la solución de nuestro problema (siempre que  $p_1 \neq p_2$ ), como

$$s(t) = s(0)\frac{p_2 e^{p_1 t} - p_1 e^{p_2 t}}{p_2 - p_1} + \dot{s}(0)\frac{e^{p_2 t} - e^{p_1 t}}{p_2 - p_1}.$$
 (15)

Usando la regla de L'Hôpital, podemos incluso obtener la solución de nuestro problema en el caso  $p_1 = p_2$ . Este caso lo podemos obtener tomando el  $\lim_{p_2 \to p_1} s(t)$  en la ecuación anterior. Con un poco de cuidado, obtenemos de inmediato,

$$s(t) = s(0)(1 - pt)e^{pt} + \dot{s}(0)te^{pt}, \tag{16}$$

para el caso en que  $p_1 = p_2 \equiv p = -c/(2M)$ .

Una vez que hemos encontrado la solución s(t) al problema de valores iniciales para el sistema masa—resorte—amortiguador, es conveniente ahora discutir el comportamiento de dicha solución para distintos valores de los parámetros (i.e., para los cuatro casos introducidos anteriormente). Lo que determina el distinto comportamiento de la solución en estos cuatro casos es el valor de la expresión

$$r \equiv \frac{c^2}{4Mk}.$$

El parámetro r mide la magnitud relativa del amortiguador comparada con la magnitud del resorte. Nótese que r es un parámetro adimensional. Si r>1, el efecto del amortiguador es más importante que el del resorte. En este caso s(t) muere exponecialmente sin oscilar. Por razones obvias este caso se conoce como Sobreamortiguado. Por otra parte, si r<1 el resorte es más importante que el amortiguador, la solución s(t) muere exponencialmente, pero oscila. Este caso, se conoce como subamortiguado. El caso límite entre ambas situaciones, r=1 se conoce como amortiguamiento crítico. Finalmente, el caso r=c=0 corresponde al caso en que no hay amortiguación y se denomina como el caso oscilatorio.

i)  $c^2/(4Mk)>1$  sobreamortiguamiento: como hemos dicho anteriormente,  $p_1< p_2<0$  son reales, negativas. Si llamamos

$$\Lambda = \sqrt{\frac{c^2}{4M^2} - \frac{k}{M}},$$

tenemos que  $p_{1,2} = -c/(2M) \pm \Lambda$ , de modo que  $p_1 - p_2 = 2\Lambda$ . Reemplazando los valores de  $p_1$  y  $p_2$  en (16), y usando las expresiones habituales para las funciones hiperbólicas, i.e.,  $\cosh(x) = (e^x + e^{-x})/2$  y  $\operatorname{senh}(x) = (e^x - e^{-x})/2$ , podemos escribir la solución s(t) en este caso como

$$s(t) = e^{-ct/(2M)} \left( \frac{s(0)}{\Lambda} \frac{c}{2M} \operatorname{senh}(\Lambda t) + s(0) \cosh(\Lambda t) + \frac{\dot{s}(0)}{\Lambda} \operatorname{senh}(\Lambda t) \right)$$

Esta solución tiene a lo más un cero, dependiendo de las condiciones iniciales, y decae exponencialmente, cuando  $t \to \infty$ . De hecho, como  $p_2$  es la raíz de menor módulo, s(t) va a cero como  $Ae^{p_2t}$  en que A es una constante que depende de las condiciones iniciales

ii)  $c^2/(4Mk) = 1$  amortiguamiento crítico: en este caso (8) tiene una solución real negativa (repetida), i.e.,  $p_1 = p_2 = -c/(2M) < 0$ , y de (16) tenemos,

$$s(t) = s(0)(1 + \frac{c}{2M}t)e^{-ct/(2m)} + \dot{s}(0)te^{-ct/(2M)}.$$

iii)  $c^2/(4Mk) < 1$  subamortiguamiento: en este caso (8) tiene un par de soluciones complejas conjugadas. Ambas tienen parte real negativa -c/(2M). Si llamamos ahora

$$\Omega^2 = \frac{k}{M} - \frac{c^2}{4M^2},$$

entonces podemos escribir el par de raíces complejas conjugadas como  $p_{1,2}=-c/(2M)\pm i\Omega$  (en que como es habitual,  $i\equiv\sqrt{-1}$ ). Usando la formula de Euler, i.e.,  $e^{ix}=\cos x+i{\rm sen}x$ , de modo que  $\cos x=(e^{ix}+e^{-ix})/2$  y  ${\rm sen}x=(e^{ix}-e^{-ix})/(2i)$ , respectivamente, usando (16) podemos escribir en este caso la solución como,

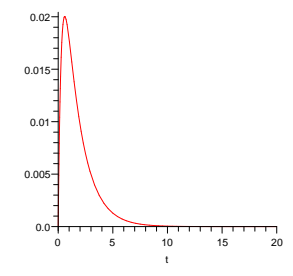
$$s(t) = e^{-ct/(2M)} \left( \frac{s(0)}{\Omega} \frac{c}{2M} \operatorname{senh}(\Omega t) + s(0) \cos(\Omega t) + \frac{\dot{s}(0)}{\Omega} \operatorname{senh}(\Omega t) \right)$$
(17)

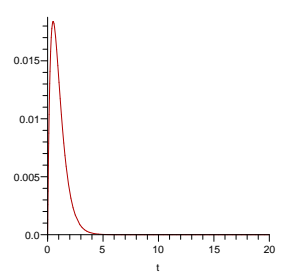
iv) c=0 caso oscilatorio: en este caso (8) tiene dos soluciones imaginarias conjugadas, i.e.,  $p_{1,2}=\pm i\sqrt{k/M}$ . Llamando  $\Omega=\sqrt{k/M}$ , la solución, en este caso es'tá dada por,

$$s(t) = s(0)\cos(\Omega t) + \frac{\dot{s}(0)}{\Omega}\sin(\Omega t).$$

En las figuras que siguen, ilustramos la solución s(t), dado el estado inicial,  $s(0)=0,\ \dot{s}(0)=0.1,$  para parámetros  $k=9/4,\ M=1$  fijos y distintos valores de c.

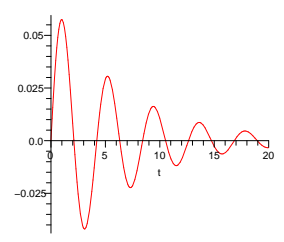
El primer gráfico corresponde a c=4 (i.e., r=1.777...) (i.e.,  $caso\ sobreamortiquado$ ):



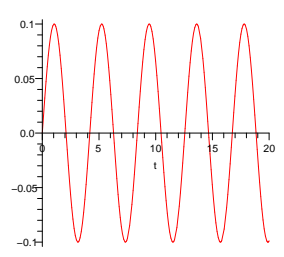


El segundo gráfico corresponde a c=3 (i.e., r=1) (i.e., amortiguamiento crítico):

El tercer gráfico corresponde a c=0.3 (i.e., r=0.01) (i.e.,  $caso\ subamortiguado$ ):



Finalmente el cuarto gráfico corresponde a c=0 (i.e., r=0) (i.e.,  $caso\ oscilatorio$ ):

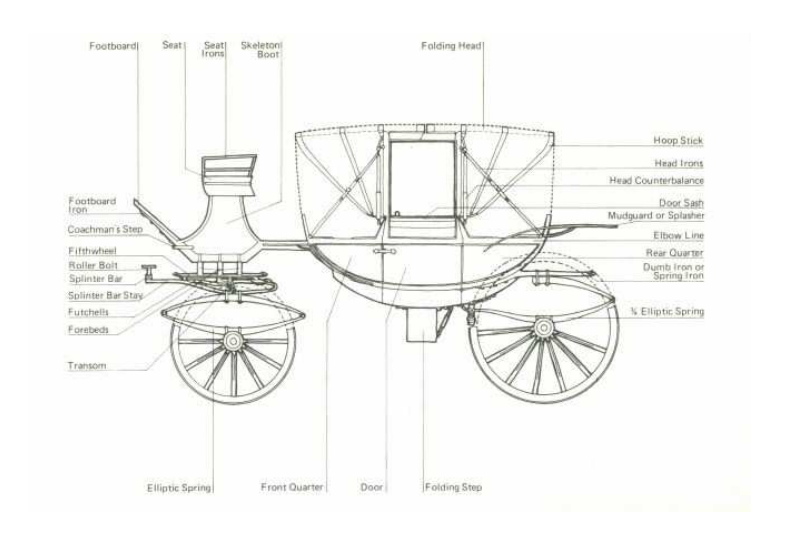


Breve historia de los mecanismos de suspensión: La historia de los mecanismos de suspensión se remonta a las antiguas civilizaciones. Ya en tiempos de egipcios y romanos se utlizaron al menos simples mecanismos de suspensión en carruajes tirados por caballos con el fin de hacer los viajes mas suaves para sus pasajeros. Quizás la descripción más antigua de un mecanismo de suspensión es la que se refiere al *Pilentum*, un antiguo coche romano. En el se utilizaron barras elásticas de madera entre el carro y las ruedas para hacer un viaje mas suave (ver figura).



Figure 1: sistema de suspensión del "Pilentum"

Estas barras elásticas de madera son los antiguos antecesores de los actuales resortes planos de placas metálicas ("leaf springs") que se utilizan aún ahora en muchos automóbiles. En 1804, en Londres, Obadiah Elliott patentó el primer sistema moderno de resortes planos de metal (el así llamado resorte elíptico). El diseño de Elliott consistía en varias placas de acero de distinto largo, apiladas una sobre otra, atornilladas. Este sistema se unía luego mediante dos piezas metálicas en forma de U, una al carruaje y la otra al eje de las ruedas. En la figura siguiente se indica un sistema de resortes elípticos para las ruedas delanteras, y un sistema 3/4 elíptico para las ruedas traseras, de un carruaje.



En 1763, R. Tredwell patentó los resortes espirales.



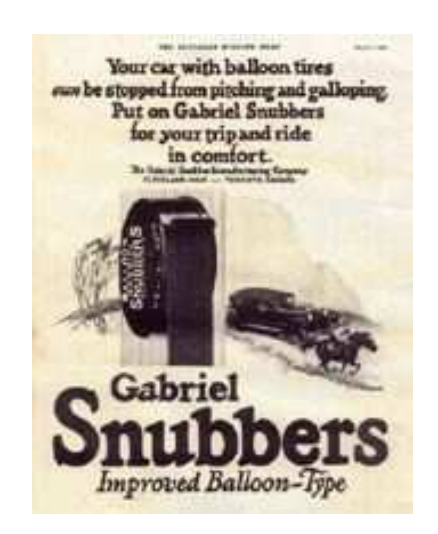
Con la invención de los automóviles en la segunda mitad del siglo XIX, surgio la necesidad de mejores sistemas de suspensión. En 1898, el ciclista francés J. M. M. Truffault, construyó el primer *amortiguador*, que utilizó para bicicletas de carrera.

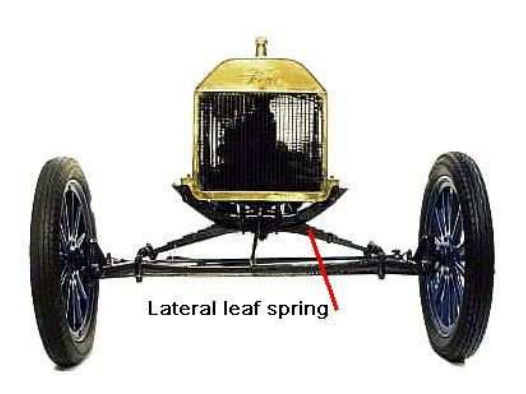


Ya en esa época hubo varios diseños de cierto tipo de amortiguadores, los que basicamente consist'ían en bloques de caucho entre las barras de los resortes planos a que nos referimos más arriba. De este tipo son los *amortiguadores* introducidos por A. Gimmig en 1897 y por William Brush en 1904. En 1900, Claude H. Foster (1862–1965) fundó la empresa "Gabriel" (este nombre hace alusión por razones obvias al Arcangel San Gabriel), en Cleveland Ohio, para fabricar las primeras bocinas manuales (clásicas en las peliculas antiguas) para automóbiles. Foster, en 1907, introdujo una especie de *amortiguadores*: los "Snubbers".

En 1908, al introducir el clásico modelo T, Henry Ford, introdujo una variante en el uso de los resortes planos, al utilzar en cada eje solo un resorte, pero dispuesto en forma horizontal (ver figura).

También en 1908, M. Houdaille, en Francia creó el primer amortiguador hidráulico. En 1918, August F. Meyer y su socio Charles S. McIntyre, crearon la empresa "Brisk Blast" para fabricar bombas mauales de aire (i.e., bombines) para automóbiles, en Monroe, Michigan, EE.UU. A partir de 1919, esta empresa adoptó el nombre de "Monroe Auto Equipment Manufacturing Co." Esta empresa llegó a fabricar decenas de miles de bombines a principios de los 20, hasta que la mayoría de las estaciones de servicio en EE.UU. contaron con compresores de aire, lo que hizo decaer bruscamente la venta de bombines para automóvil.





Es entonces que la empresa Monroe cambió de interés, y en 1926 introdujo el primer *amortiguador* moderno (el "Monroe Shock Eliminator"). Desde entonces ha habido continuos avances en los sistemas de suspensión de los automóbiles, con todo tipo de dispositivos para hacer aun mas confortable el desplazamiento en ellos.

A principios e 2009, un grupo de estudiantes de pregrado en el MIT (Cambridge, MA, EE.UU.) diseñó un sistema para aprovechar la energía disipada en los amortiguadores de los automóviles, los que los puede hacer en promedio un diez por ciento más eficientes [3].

## REFERENCIAS:

- $[1] \ http://en.wikipedia.org/wiki/Linear\_differential\_equation$
- [2] http://www.motorera.com/history/hist08.htm
- $[3] \ http://www.renewableenergyworld.com/rea/news/article/2009/02/mit-shock-absorber-increases-fuel-economy$

FIS-1513: R. Benguria, R. Rodriguez, C. Sing-Long, 4 de Abril de 2010.

